

ミリ波64QAM通信を実現する 60GHz帯局部発振器

東京工業大学 大学院理工学研究科 松澤・岡田研究室

桂木 真希彦, 上野 智大, Teerachot Siriburanon, 木村 健将, 近藤 智史, 岡田 健一, 松澤 昭

1. 研究背景

・60GHz帯無線通信

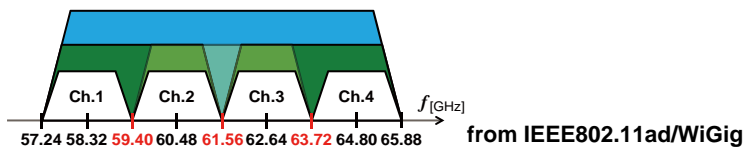
- 広帯域を用いて、超高速無線通信が可能
- QPSK → 3.52Gbps/ch
- 16QAM → 7.04Gbps/ch
- **64QAM → 10.56Gbps/ch (not reported yet)**

・60GHz帯発振器の課題

- 表皮効果により受動素子の損失が大きい
→ 広帯域と低位相雑音の両立が困難

・局部発振器の要求性能

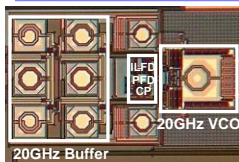
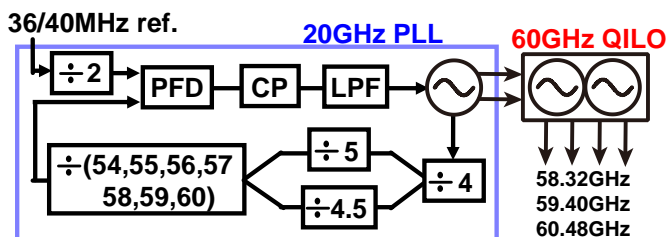
- **広帯域: 58.32 - 64.80GHz**
- **低位相雑音: -96dBc/Hz@1MHz for 64QAM**



2. 60GHz帯局部発振器

・20GHz PLL + 60GHz QILO^[1]

- 注入同期により位相雑音性能を改善



[1] K. Okada, et al., ISSCC 2011

←20GHz PLLのチップ写真
Area: 0.90mm²

Ref.	REF Freq. (MHz)	Frequency (GHz)	Phase Noise @1MHz	Features	Power (mW)
[2]	100	57.0-66.0	-75dBc/Hz	Direct 60GHz QPLL	78
[3]	203.2	59.6-64.0	-92dBc/Hz	30GHz PLL + hybrid	76
[4]	100	56.4-63.4	-90dBc/Hz	60GHz AD-PLL	48
This[5]	36	58.1-65.0	-96dBc/Hz	Sub-harmonic Injection 20GHz PLL + 60GHz QILO	72
This[6]	36/40	58-66	-97dBc/Hz	Sub-harmonic Injection 20GHz PLL + 60GHz QILO	79
This	36/40	58.3-65.4	-95dBc/Hz	Sub-harmonic Injection 20GHz PLL + 60GHz QILO	33

- [2] K. Scheir, et al., ISSCC 2009 [5] W. Deng, et al., JSSC 2013
[3] C. Marcu, et al., JSSC 2009 [6] K. Okada, et al., ISSCC 2014
[4] W. Wu, et al., ISSCC 2013

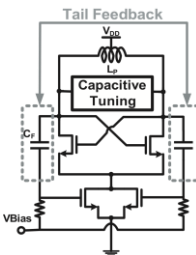
・結論

- **全チャネル64QAM通信を達成^[5]**
(60GHz帯無線機として世界初)

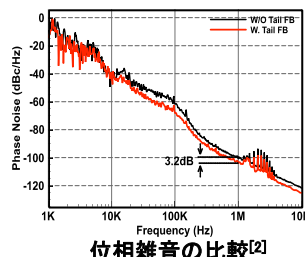
3. 20GHz VCO

・Tail Capacitive-Feedback VCO^[1]

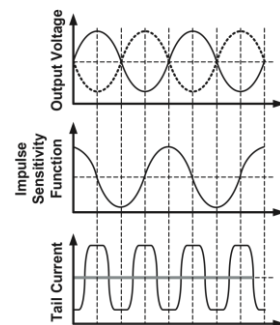
- 雑音感度(Impulse Sensitivity Function)が小さいタイミングで駆動させる



Tail Capacitive-Feedback VCOの回路図



位相雑音の比較^[2]



フィードバックの様子

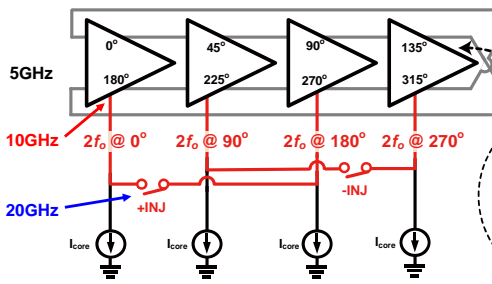
**-107dBc/Hz@1MHz
を達成**

- [1] K. Okada, et al., JSSC 2011
[2] A. Musa, et al., IEICE Trans. Electron. 2013

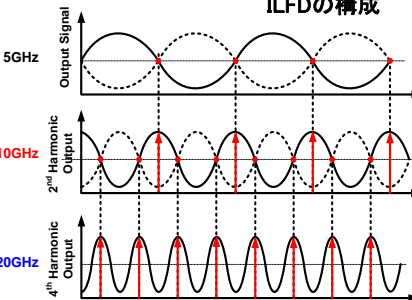
4. 20GHz-to-5GHz ILFD

・注入同期型周波数分周器(/4)

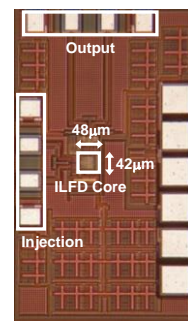
- 高調波を利用して注入同期^{[5][6]}



ILFDの構成



4分周時の動作 ↑ ↓4分周器の性能比較



ILFDのチップ写真
Area: 0.002mm²

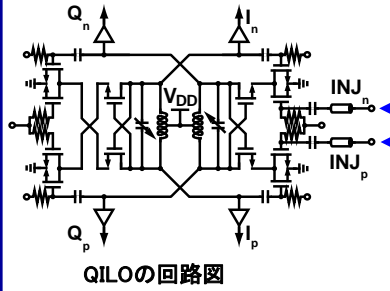
	Features	Locking Range (GHz)	Power (mW)	Area (mm ²)
[1]	Direct mixing	22.6-28 (21%)	8.3	0.140
[2]	Direct mixing	31.0-41.0 (27%)	3.3	0.002
[3]	LC Direct mixing	58.5-72.9 (22%)	2.2	0.032
[4]	CML + LC ILFD	13.5-30.5 (77%)	7.3	0.33
This	Progressive mixing	13.4-21.3 (31%)	3.9	0.003
This	Progressive mixing	15.2-20.4 (24%)	3.1	0.002

- [1] A-SSCC 2007
[2] ISSCC 2006
[3] CICC 2012
[4] T-MTT 2011
[5] A. Musa, et al., A-SSCC 2011
[6] T. Siriburanon, et al., ESSCIRC 2013

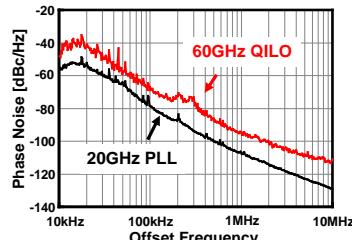
5. 60GHz QILO

・60GHz帯注入同期型周波数通倍器^{[1][2][3]}

- 直交位相出力 (Quadrature ILO)
- 位相雑音は注入信号に依存



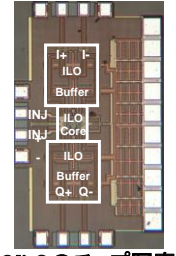
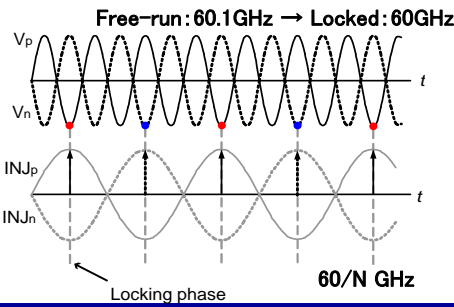
QILOの回路図



注入信号と出力信号の位相雑音の関係

・注入同期

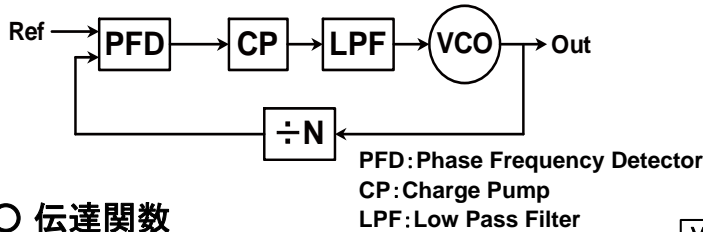
- 注入信号に位相が同期することで発振周波数が注入信号周波数のN倍にロック



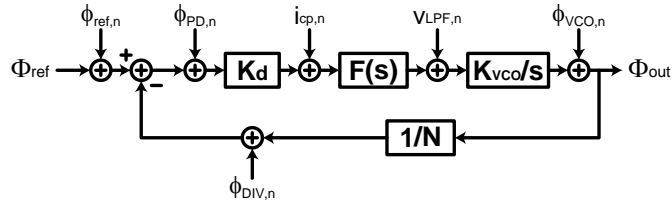
QILOのチップ写真
Area: 0.60mm²

6. サブサンプリングPLL

・従来回路(チャージポンプPLL)



○ 伝達関数



$$\Phi_{out} = \frac{N G(s)}{i_{cpn} K_d 1 + G(s)}$$

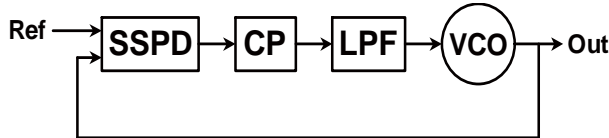
G(s): 一巡伝達関数

⊗ ループ帯域内のノイズがN倍に増幅される (N≈1000)

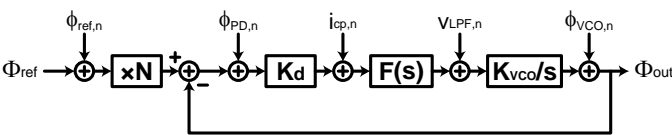
・提案回路(サブサンプリングPLL^[1])

- サブサンプリング位相比較器を利用
- 分周器を削除

[1] X.Gao, et al., JSSC 2009



○ 伝達関数



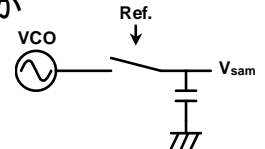
$$\Phi_{out} = \frac{1 H(s)}{i_{cpn} K_d 1 + H(s)}$$

H(s): 一巡伝達関数

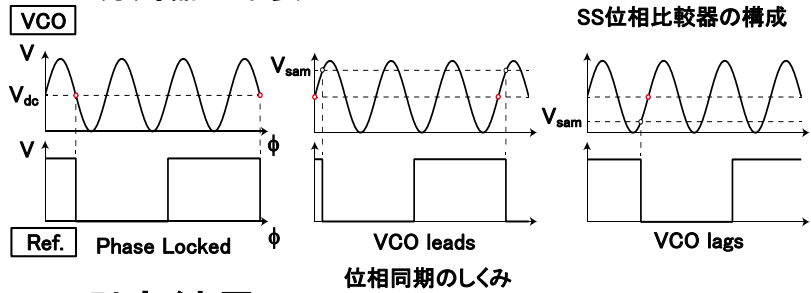
⊙ 分周器のノイズがなくなる
⊙ ループ帯域内のノイズがN倍されない

・サブサンプリング位相比較器

- 位相差を電位差に変換
- 参照信号に対してVCOの位相が進んでいると $V_{sam} > V_{dc}$
- 遅れていると $V_{sam} < V_{dc}$
- 分周器が不要



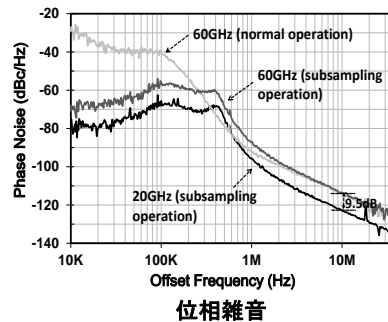
SS位相比較器の構成



・測定結果

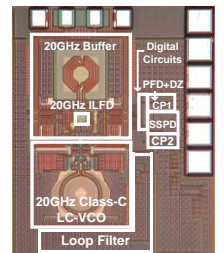
(20GHz SS-PLL+60GHz QILO)

Ref.	REF Freq. (MHz)	Frequency (GHz)	Integrated Jitter (ps)	Phase Noise @10kHz offset	Phase Noise @10MHz offset	Features	Power (mW)
[2]	100	57.0-66.0	1.5	-66 dBc/Hz	-108 dBc/Hz	Direct 60GHz QPLL	78
[3]	203.2	59.6-64.0	2.3	-65 dBc/Hz	-112 dBc/Hz	30GHz PLL + Coupler	76
[4]	100	56.0-62.0	0.94	-71 dBc/Hz	-109 dBc/Hz	60GHz AD-PLL	48
This (normal)	36/40	58.3-65.4	12.0	-40 dBc/Hz	-115 dBc/Hz	Sub-harmonic Injection 20GHz PLL + 60GHz QILO	32.8
This (SS)	36	58.3-65.4	2.1	-69 dBc/Hz	-115 dBc/Hz	Sub-harmonic Injection 20GHz SS-PLL + 60GHz QILO	34.2



SS-PLLのチップ写真→ Area: 0.56mm²

- [2] K. Scheir, et al., ISSCC 2009
- [3] C. Marcu, et al., JSSC 2009
- [4] W. Wu, et al., ISSCC 2013



謝辞

本研究の一部は、総務省委託研究『電波資源拡大のための研究開発』、総務省SCOPE、科学研究費補助金、半導体理工学研究センター、並びに東京大学大規模集積システム設計教育研究センターを通し、日本ケイデンス株式会社およびアジレント・テクノロジー株式会社の協力で行われたものである。